АСТРОФИЗИКА

TOM 23

АВГУСТ, 1985

ВЫПУСК 1

УДК: 524.5

О СВОЙСТВАХ ЛОКАЛЬНОЙ МЕЖЗВЕЗДНОЙ СРЕДЫ

Ал. А. СУЧКОВ Поступила 26 сентября 1984 Принята к печати 8 мая 1985

Рассмотрены механизмы формирования ионов, линии поглощения которых наблюдаются в спектрах ближайших (d < 50 пс) белых карликов. Покавано, что межзвездный ион Si III частично формируется в зоне, обусловленной теплопроводностью между облаком H I ($T=10^3$ K), в котором находится Солице, и окружающим его коронарным газом ($T>10^5$ K), и частично в зоне H II вокруг наблюдаемой звезды. Наблюдаемое в направлении белого карлика G191—B2B отношение плотностей ионов на луче зрения N (Si IV)/N(Si III) $\gtrsim 10$ наилучшее объяснение находит в модели нестационарной зоны H II вокруг втой звезды.

1. Введение. За последнее десятилетне много информации о физических условиях в межзвездной среде получено на основе данных о линиях поглощения межэвездных ионов, наблюдаемых в ультрафиолетовой области спектров звезд с достаточно мощным ультрафиолетовым континуумом. Наблюдения близких звезд (d < 50 nc) позволяют делать выводы о свойствах локальной межзвездной среды. Эти наблюдения показывают, что на расстояниях от 2.7 по до 48 пс от Солнца среднее по лучу врения значение плотности числа нейтральных атомов водорода изменяется в широких пределах: от $n_{\rm H\,I}\sim 0.1~{\rm cm^{-3}}$ до $n_{\rm H\,I}\sim 0.005~{\rm cm^{-3}}$ [1, 2]. Это означает, что в ближайшей галактической окрестности Солнца (d < 50 пс) межэвездная среда крайне неоднородна. Считается, что такой характер распределения Н I связан с наличием вокруг солнечной системы облака Н I, окруженного горячим коронарным газом. Наблюдения в спектрах ближайших эвеэд линий поглощения ионов тяжелых элементов призваны способствовать построению более рафинированной модели локальной межзвездной среды. В настоящей работе мы проводим анализ формирования нонов в локальной межзвездной среде, увязывающий совокупность данных по ионам в ближайшем галактическом окружении Солнца со свойствами среды.

2. Наблюдения и интерпретация. В работах [1—3] на основе данных, полученных на спутнике IUE, проведен анализ линий поглощения ряда ионов в спектрах ввезд, лежащих на расстояниях от 2.7 пс до 48 пс от Солнца. Значения плотностей на луче врения (поверхностных плотностей) низкозарядных ионов не обнаруживают корреляции с расстоянием. Логарифмы поверхностных плотностей ионов $\lg N(X)$ (N(X) в см⁻²) сставляют: $HI-17.9 \div 18.1$; $CII-13.7 \div 13.9$; $NV-13.7 \div 13.9$; $OI-14.0 \div 14.3$; $MgII-12.3 \div 13.0$; $SiII-12.8 \div 13.2$; SiIII-12.3. В направлении на белый карлик Giii-19.8 (Giiii-19.8) обнаружены вначительные количества высокозарядных ионов:

$$\lg N(NV) = 13.6 + 14.0;$$
 $\lg N(C | V) = 13.7 \div 14.2;$ $\lg N(Si | V) = 13.0 \div 13.7.$

Отсутствие корреляции между лучевыми концентрациями низкозарядных ионов и расстоянием до наблюдаемых звезд, лежащих в различных направлениях, приводит к естественному заключению, что эти ионы локализованы вблизи Солнца, в окружающем его нейтральном облаке. в согласии с общепринятой точкой зрения [1]. При характерном раднусе облака $r \simeq 2 \div 3$ пс, оценка плотности числа атомов нейтрального водорода в облаке $n \simeq 0.1$ см $^{-3}$. Облако окружено горячим ($T = 10^5 \div 10^6$ K) разреженным ($n \sim 10^{-2} \div 10^{-3}$ см $^{-3}$) газом [1].

В работе [3] авторы указывают на несколько возможных механизмов формирования высокозарядных ионов, наблюдающихся в направлении на белый карлик G191—B2B. В одну группу входят процессы, не связанные с наблюдаемой звездой — термическая (возможно неравновесная) ионизация в протяженных областях сравнительно горячего ($T \simeq 10^5 \, \mathrm{K}$) межзвездного газа, пересекаемых лучом зрения на звезду. К другой группе относятся механизмы, в которых сама звезда участвует в формировании этих ионов — планетарная туманность, «холодная» корона, гало вокруг белого карлика.

Значительная часть энергии в спектре электромагнитного излучения белого карлика приходится на ультрафиолетовый участок и частично на область мягкого рентгеновского излучения. Поэтому в окружающей ее нейтральной среде такая звезда будет создавать зону Н ІІ, содержащую высокозарядные ионы. В работе [4] рассчитаны несколько моделей зон Н ІІ, зависящих от характеристик белого карлика и плотности окружающей среды. Варьируя эти параметры, авторы добиваются удовлетворительного согласия с наблюдениями высокозарядных ионов.

Однако в работах [1—4] не выявлена связь между происхождением высокозарядных и низкозарядных ионов, наблюдаемых в направлении на одну и ту же звезду. В частности, остается открытым вопрос о происхож-

дении иона Si III. Кроме того, в этих работах не полностью учитывались реакции перезарядок ионов тяжелых элементов с нейтральным водородом, не учитывались реакции перезарядок с нейтральным гелием. Не учтены также реакции перезарядок с ионизованными водородом и гелием, приводящие к увеличению заряда ионов.

- 3. Физические условия и ионный состав участков межэвездной среды. Луч эрения в направлении на звезду может пересекать участки, в которых межзвездная среда находится в различных фазах [5, 6]. Рассмотрим вклады различных фаз в лучевые концентрации нонов.
- 1. В "теплой" нейтральной среде ($T \simeq 10^4$ K, $x = n_c/n \lesssim 0.1$, n_e , см⁻³ плотность числа электронов) водород практически полностью нейтрален, диффузным ультрафиолетовым излучением ионизованы атомы элементов, потенциал ионизации которых $E_t < 13.6$ эВ; они находятся в состоянии однократной ионизации (CII, Mg II, Si II, S II), атомы остальных элементов нейтральны (N I, O I, Ne I, см. [7]).
- 2. Коронарный газ ($T \sim 10^5 + 10^6$ K, $x \simeq 1$) характеризуется тем, что водород ионизован полностью, остальные элементы находятся в высокоионизованных состояниях с зарядом ионов $\div 4 \div + 6$ (см., например, [8]).
- 3. Газ в теплой ионизованной среде ($T \simeq 10^4$ K, $x \simeq 1$) существует в зонах Н II вокруг звезд, электромагнитное излучение которых содержит достаточное количество квантов с энергией $^{\circ} > 13.6$ эВ, например, в окрестностях О-В звезд [9, 10], рентгеновских источников [11, 12], белых карликов [4]. При пересечении лучом зрения такой области можно наблюдать как низкозарядные, так и высокозарядные ионы.
- 4. Определенный вклад в наблюдаемые плотности ионов на луче зрения может давать переходной слой между теплой нейтральной средой и коронарным газом, физическое состояние которого определяется теплопроводностью. При рассмотрении такого слоя от $T=10^4~{\rm K}$ до $T\simeq~10^6~{\rm K}$ все элементы последовательно проходят стадии ионизации от нейтральных атомов до ионов с зарядом $z\simeq+5\div+6$.

Наибольший вклад в лучевые концентрации ионов H I, С II, N I, О I, Mg II и Si II будет вносить теплая нейтральная среда. Типичное значение плотности на луче эрения нейтральных атомов водорода в рассматриваемой области $\lg N \, (\text{H I}) \simeq 18 \, [1]$. Ближайшая звезда, в спектре которой наблюдались рассматриваемые ионы,— белый карлик Сириус В [1]. Приняв расстояние до этой звезды, $d=2.7\,$ пс, за верхнюю оценку для ралиуса облака, получим $n_{\text{H I}} \simeq 0.1\,$ см $^{-3}$. При нормальных космических оби-

лиях влементов ожидаемые в этих условиях логарифмы лучевых концентраций ионов составят: С II — 14.5; N — 14.0; О I — 14.8; Mg II — 13.4; Si II — 13.5. Наблюдаемые значения меньше этих на $0.2 \div 0.75$. Авторы работы [1] приходят к выводу, что вто расхождение можно объяснить за счет обеднения тяжелых влементов в облаке. Нами были проведены численные расчеты, которые показали, что никакими другими способами — разумным варьированием температуры в облаке, возможным увеличением потока фонового рентгеновского излучения к краю облака, теплопроводностью у края облака — устранить вто расхождение не удается.

На луче эрения могут оказаться другие нейтральные облака, дающие вклад в поверхностные плотности низкозарядных ионов. Однако на их количество накладывают ограничения наблюдаемые лучевые концентрации понов Si III — об этом речь будет идти ниже.

Значительный участок луча зрения на звезду пролегает через коронарный газ. В [3] отмечается, что в предположении о формировании ионов С IV, N V и Si IV в втой фазе оценка температуры $\Gamma = 10^{4.7} \div 10^{5.1}\,$ К. Это меньше, чем нужно для интерпретации обилия межзвездного иона О VI и недостаточно для объяснения наблюдаемого потока фонового рентгеновского излучения [3]. Численными расчетами не подтверждается предположение о том, что вти ионы формируются в очень старом остатку сверхновой, или в области с пониженной температурой, заключенной в коронарный газ [3]. Расчет ионного состава остывающего газа остатка сверхновой с учетом реакций перезарядок проводился в [13]. На рис. 1 приве-

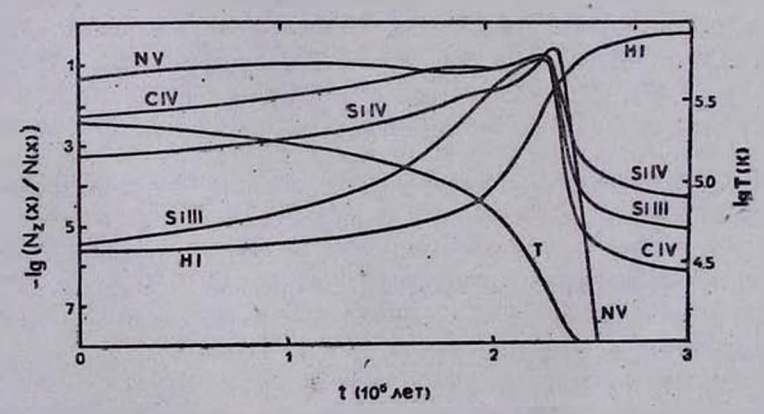


Рис. 1. Зависимости относительных концентраций нонов от времени в остывающем газе.

дены графики рассчитамных нами зависимостей относительных концентраций рассматриваемых ионов в газе, остывающем при постоянном давлении, $nT = 1000 \, \mathrm{cm}^{-3} \, \mathrm{K}$ (характерное для диска Галактики значение).

Расстояние до звезды G191—B2B, в спектре которой наблюдаются линии поглощения этих ионов, d=48 пс. На таком расстоянии в газе с $T>>10^5$ К будем иметь: $\lg N(\text{NV}) < 13.1$; $\lg N(\text{CIV}) < 13.4$; $\lg N(\text{Si IV}) < 12.0$, т. е. примерно на порядок меньше наблюдаемых значений. С другой стороны, при $T<10^5$ К хотя и набираются требуемые количества ионов NV, CIV и Si IV, однако в этом случае $N(\text{Si IV})/N(\text{Si III}) \sim 1$, тогда как наблюдается $N(\text{Si IV})/N(\text{Si III}) \gtrsim 10$.

В работе [1] указывается на возможность формирования ионов Si III в переходном слое между нейтральным облаком и коронарным газом. Задача об испарении и конденсации нейтральных облаков в горячем газе решалась в [14]. По данным этой работы, а также работ [7] и [8], на рис. 2

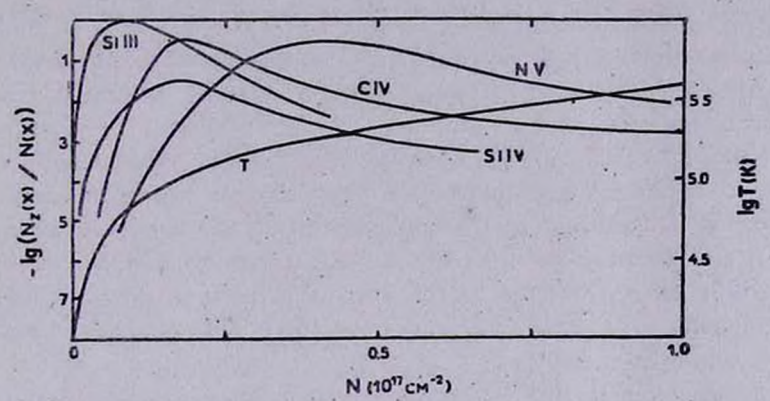


Рис. 2. Распределение относительных концентраций ионов в переходном слос.

построены график: зависимостей относительных концентраций ионов от полной плотности числа частиц на луче эрения в переходном слое. Логарифмы лучевых концентраций ионов в переходном слое составляют: C IV - 12.2; N V - 11.9; Si IV - 10.2; Si III - 11.5. Вклад переходного слоя в лучевые кощентрации ионов C IV, N V и Si IV мал. В то же время приведенное значение для Si III согласуется с наблюдаемыми количествами Si III: lg N (Si III) < 12.3. Чтобы выполнялось это условие, луч эрения на звезду не должен пересекать более чем три-четыре переходных слоя, т. е. помимо облака, в котором находится Солнце, и облака, в котором может находиться наблюдаемая звезда, на луче эрения может встретиться еще не более одного облака.

Наиболее вероятной областью, в которой набираются наблюдаемые количества ионов C IV, N V и Si IV, является вона H II вокруг белого карлика, погруженного в нейтральное облако. Мы повторили расчет модели [4] воны H II вокруг белого карлика с водородной атмосферой, поверхностной температурой $T=60\,000~{\rm K}$ и $R_\star=0.0127~R_\odot$. При расчетах мы

учли реакции перезарядок всех ионов тяжелых влементов с нейтральными водородом и гелием, реакции перезарядок ряда ионов с ионизованными водородом и гелием. Данные о скоростях этих реакций приведены в [15]. Схема расчета ионизационного равновесия среды, подверженной воздействию влектромагнитного излучения, аналогична приведенной в [7]. Для нашего случая уравнения ионизационного равновесия несколько модифицированы:

$$\Gamma_{i}x_{i} - \sum_{j < i} \Gamma_{j}K_{ij}x_{j} = (S_{i-1}x_{i-1} + A_{i+1}x_{i+1} - S_{i}x_{i} - A_{i}x_{i}) n, \qquad (1)$$

здесь Γ_i , c^{-1} — скорость ионизации иона с зарядом i электромагнитным излучением; $x_i = n_i/n$ — относительная концентрация иона с зарядом i; n_i , cm^{-3} — плотность числа ионов с зарядом i; n, cm^{-3} — полная плотность числа частиц; K_{ij} — коэффициент вероятности Ожепереходов, в результате которых после захвата ионом с зарядом j фотона образуется ион с зарядом i путем выброса исходным ионом i-j электронов; S_i , cm^3 c^{-1} — суммарная скорость ионизации иона с зарядом i парными столкновениями, куда входят ионизации тепловыми электронами и ионизации при перезарядках с ионизованными водородом и гелием; A_i , cm^3 c^{-1} —суммарная скорость рекомбинации иона с зарядом i, куда входят фото- и диэлектронная рекомбинации при столкновениях с тепловыми электронами и перезарядки с нейтральными водородом и гелием.

Скорость ионизации Γ_l пропорциональна потоку ионизующего излучения, который в случае точечного источника является функцией расстояния до источника. Мы будем рассматривать случай оптически тонкой среды. Действительно, в случае, когда имеются достаточные количества ионов С IV, N V и Si IV, относительная концентрация атомов нейтрального водорода $x_{\rm HI} = n_{\rm HI}/n_{\rm H} < 0.1$, гелий находится в основном в состоянии He II. Длина свободного пробега квантов с энергией у порога ионизации водорода, $\epsilon \gtrsim 13.6$ вВ, имеет порядок $l \sim 1/(z_{\rm HI}\,n_{\rm HI})$, где $\sigma_{\rm HI} \sim 10^{-17}$ см $^{-2}$ — сечение ионизации у порога. Тот же порядок имеет сечение ионизации для He II. Тогда, при плотности среды $n \simeq 0.1$ см $^{-3}$, $l \gtrsim 3$ пс. В то же время, как будет видно ниже, при плотности среды n = 0.1 см $^{-3}$ рассматриваемые высокозарядные ионы формируются на расстояниях r < 1 пс от звезды, т. е. приближение оптически тонкой среды является вполне оправданным.

В рассматриваемом случае плотность потока ионизующих квантов и скорость ионизации излучением обратно пропорциональны квадрату расстояния от источника: $\Gamma_t = \gamma_i/R^3$. Величины S_t и A_t явно зависят только от температуры среды. Тогда для среды с постоянной температурой (мы

принимали типичное для зон H II значение $T=10^4\,\mathrm{K}$) уравнение (1) можно переписать в виде:

$$(\gamma_i \mathbf{x}_i - \sum_{i \le i} \gamma_i K_{ij} \mathbf{x}_j) \, \xi^{\pm} = F_i \,. \tag{2}$$

Здесь эффективность ионизации T_i зависит только от формы спектра ионизующего излучения. Функция F_i представляет собой выражение в скобках в правой части уравнения (1) и не зависит от полной концентрации n. Зависимости от расстояния до источника излучения и плотности среды вынесены в параметр ионизации $\xi = 1/(Rn^{1.2})$, который для удобства представлен нормированым к среде n = 0.1 см $^{-3}$ и расстоянию до звезды R = 1 пс: $\xi = \left(\frac{1}{R}\right) \cdot \left(\frac{0.1}{R}\right)^{1/2}$.

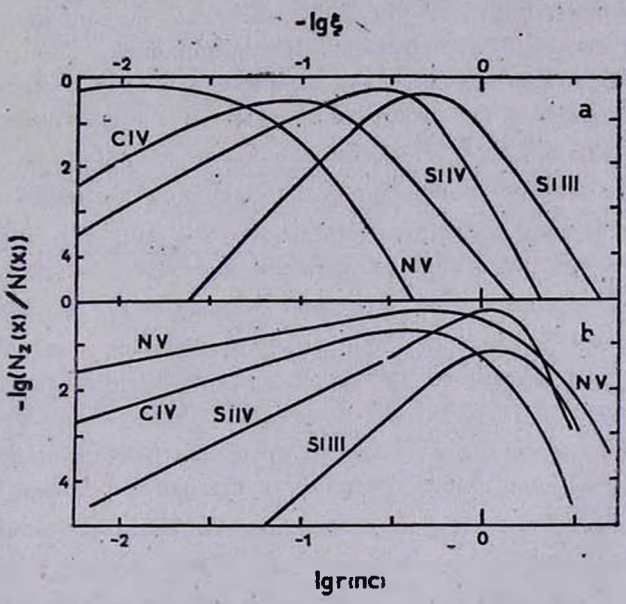


Рис. 3. Распределение относительных концентраций ионов в стационарной зоне H II (a) и вдоль следа звезды в нестационарной зоне H II (b).

Результаты расчетов приведены на рис. За в виде графиков зависимостей относительных концентраций ионов от параметра с. При плотности среды $n=0.1~{\rm cm}^{-|3}$ логарифмы плотностей на луче зрения для рассматриваемых ионов составляют: С IV — 12.7; N V — 11.9; Si III — 12.3; Si IV—12.2. Нетрудно видеть, что для согласования с наблюдаемыми значениями лучевых концентраций ионов С IV, N V и Si IV необходимо увеличить плотность среды на 2—3 порядка.

Однако интерпретация обилия иона Si III сталкивается здесь с трудностями. В этой модели всегда N (Si IV)/N (Si III) \approx 1, тогда как наблюдается N (Si IV)/N (Si III) \gtrsim 10 [1, 3]. При использовании более жесткого спектра ионизующего излучения это отношение повышается до \sim 5 [11], однако такой спектр характерен для аккрецирующих нейтронных звезд или для белых карликов с очень мощной аккрецией [12].

Одна из вовможностей согласовать такую модель с наблюдениями состоит в предположении, что наблюдаемая звезда находится в облаке на таком расстоянии от края, что втому соответствует $\lg \lesssim 0.75$. В втом случае количества ионов Si III на луче зрения будут превышать количества ионов Si IV более чем в 10 раз.

4. Неравновесная ионизация. Согласно [3], звезда G191-B2B движется с положительной лучевой скоростью относительно среды, в которой локаливованы ионы CIV, NV и Si IV. В таком случае, мы должны наблюдать «хвост» зоны Стремгрена с нестационарным ионным составом. При движении звезды относительно окружающей среды участки среды с высокой ионизацией будут рекомбинировать с характерным временем $t_r \sim 1/(n_e \alpha_r)$, где n_e , см⁻³ — плотность часла влектронов, α_r , см³с⁻¹ коэффициент скорости рекомбинации. Типичное значение $\alpha_r \sim 10^{-12}$ + $+10^{-13}$ см³ с⁻¹. При плотности среды $n \sim 0.1$ см⁻³, $t_r \sim 3 \cdot (10^5 \div 10^8)$ лет. Это значение много больше времени $t_* \sim r/v_*$, за которое звезда успевает пройти радиус зоны высокой ионизации г., где локализованы ионы CIV, N V, Si III и Si IV в стационарном случае. Характерная пространственная скорость белых карликов $v_{\star} \sim 30$ км/с. При $n \sim$ ~ 0.1 см⁻³, $r_* \simeq 1$ пс, $t_* \sim 3 \cdot 10^4$ лет. Однако, когда концентрация нейтрального водорода достигает в процессе рекомбинации значений $x_{\rm H,i} = n_{\rm HI}/n_{\rm H} \gtrsim 0.01$, преобладающими в процессе релаксации ионного состава становится реакции перезарядок, характерное время которых $t_c \sim 1/(n_{\rm H} x_{\rm H} a_c)$. Здесь $a_c \sim 10^{-9}$ см⁻³ с⁻¹ — ковффициент скорости реакций перезарядок. Уже при относительной концентрации нейтральных атомов водорода $x_{\rm HI} \gtrsim 0.01$, время релаксации иоиного состава за счет реакции перезарядок становится $t_c \lesssim 3 \cdot 10^4$ лет, т. е. сравнимо со временем прохождения звездой зоны высокой ионизации. В свою очередь, как легко видеть, полностью ионизованный водород рекомбинирует до относительной концентрации $x_{\rm HI}$ за время $t_{\rm HI} \sim x_{\rm HI}/(n_e c_r)$. При $x_{\rm HI} = 0.01$, $t_{\rm HI} \sim 3 \cdot 10^3$ лет, т. е. характерные времена этих процессов имеют один порядок: $t_{\rm HI} \sim t_{\rm e} \sim t_{\rm e}$. Это означает, что размер зоны высокой ионизации тяжелых элементов имеет тот же порядок, что и в случае стационарной ионизации. Однако высокозарядные ионы будут "размазаны" по следу звезды, и их распределение может значительно отличаться от стационарного, что отразится на значениях поверхностных плотностей ионов.

Исходя из этого, мы рассчитали неравновесное распределение относительных концентраций ионов в окрестности белого карлика, движущегося со скоростью $v_*=30$ км/с относительпо среды с n=0.1 см $^{-3}$, $T=10^{\circ}$ К. Уравнения, описывающие изменение относительных концентраций ионов, записываются в виде:

$$\frac{dx_i}{dt} = [F_i - (\gamma_i x_i - \sum_{j \le i} \gamma_i K_{i,j} x_j) \xi^2] n.$$
 (3)

Эдесь все обозначения те же, что и в (2). Метод расчета состоит в следующем. Элемент межзвездной среды на некотором удалении от линип движения звезды «протаскивается» мимо звезды со скоростью v_* , и для него решается система уравнений (3). Получив распределение относительных концентраций ионов на сетке линий на разных удалениях от линии движения звезды, мы затем соединяем точки равных концентраций ионов и получаем картину распределения ионов вокруг движущегося белого карлика. Результаты расчетов относительных концентраций ионов вдоль следа звезды для этой модели приведены на рис. 3b, а общий вид распределения ионов в окрестности звезды — на рис. 4.

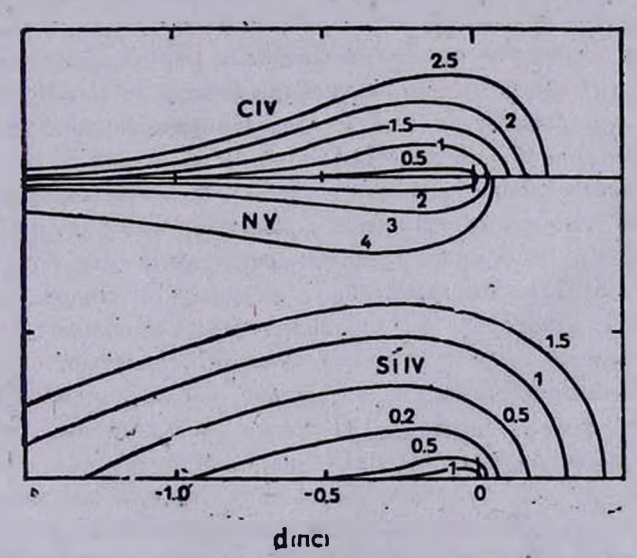


Рис. 4. Распределение относительных концентраций нонов в окрестности движущегося белого карлика. Масштабы по осям одинаховы, звезда движется направо.

Одним из существенных отличий этого случая от случая стационарной ионизации (рис. За) является понижение относительной концентрации

ионов Si III по отношению к Si IV. Это приводит к тому, что отношение плотностей на луче врения ионов Si IV и Si III повышается до \approx 6. При плотности среды n=0.1 см $^{-3}$ логарифмы лучевых концентраций ионов в этой модели составляют: C IV — 13.2; N V — 13.2; Si III — 12.0; Si IV = 12.8. Для согласования этой модели с данными наблюдений в направлении G191—B2B [3] необходимо повысить плотность окружающей звезду нейтральной среды примерно на порядок. При этом лучевые концентрации ионов повысятся на полпорядка и для ионов C IV, N V и Si IV будут согласовываться с наблюдениями. Отношение N (Si IV)/N (Si III) \approx 6 в этом случае ближе к наблюдаемому соотношению N (Si IV)/N (Si III) \gtrsim 10, чем в случае стационарной ионизации.

5. Заключение. Мы рассмотрели механизмы формирования ионов, наблюдаемых в локальной (d < 50 пс) межэвездной среде. В рамках модели, в которой Солнце находится в облаке H I с $n \simeq 0.1$ см⁻³ и радиусом $r \simeq 2 + 3$ пс, низкозарядные ноны H I, C II, N I, Mg II, Si II локализованы в этом облаке [1]. Ионы Si III частично формируются в переходном слое, обусловленном теплопроводностью между облаком Н I и окружающим его горячим ($T>10^5~{\rm K}$) газом, и частично в окрестности наблюдаемой звезды. Нами показано, что наблюдаемые в направлении на белый карлик G 191-B2B количества ионов C IV, N V и Si IV не могут набираться в старом остатке сверхновой или остывающем коронарном газе, т. к. в этом случае не обеспечиваются требуемые соотношения между количествами нонов. Вместе с тем, предложенная в [4] для интерпретации происхождения этих ионов модель стационарной зоны H II вокруг белого карлика также представляется нам неудовлетворительной. Как показано в разделе 3, в стационарной зоне Н II количества ионов Si III значительно превышают наблюдаемые, поэтому в такой модели не находит объяснения наблюдаемое отношение лучевых концентраций нонов N (Si IV)/ /N (Si III) \geq 10. Согласно нашим расчетам, близкое N (Si IV)/N (Si III) \approx 6 может быть получено в модели нестационарной зоны HII, в которой звезда движется относительно окружающей ее нейтральной среды с положительной лучевой скоростью, что для эвезды G191—B2B непосредственно подтверждено наблюдениями [3].

Отметим, что выдвинутое в [4] предположение о том, что движущиеся сквозь межзвездную среду белые карлики будут оставлять за собой длинные ($l \sim 30$ пс) «хвосты» высокоионизованной межзвездной среды, требует уточнения. Действительно, протяженность области, в которой степень ионизации водорода x > 0.1, будет составлять около 30 пс. Однако, как показано в разделе 4, для высокозарядных ионов картина выглядит иначе. Перезарядки с нейтральными водородом и гелием эффективно понижают их концентрации уже при $x_{\rm bil} > 0.01$, поэтому длина «хвоста» вы-

сокозарядных ионов составляет всего l < 3 пс и не превышает величины радиуса соответствующей стационарной зоны Стремгрена, $R_S \simeq 7$ пс. [4]. Ширина «хвоста» для каждого иона порядка величины радиуса соответствующей стационарной зоны, внутри которой локализован этот ион (см. рис. 4), повтому доля занимаемого им объема того же порядка, что и в случае стационарной ионизации.

Автор благодарен Ю. А. Щекинову за помощь в работе и В. И. Корчагину за полезные замечания, высказанные им при прочтении рукописи.

Ростовский государственный университет

ON THE PROPERTIES OF THE LOCAL INTERSTELLAR MEDIUM

AL. A. SUCHKOV

The possible mechanisms of creating ions, the absorption lines of which are seen in the spectra of nearby (d < 50 pc) white dwarfs are considered. It is shown that interstellar ion Si III is partially formed-in the thermal conduction zone between HI cloud ($T=10^4$ K) and surrounding coronal gas ($T > 10^5$ K), and partially in the HII zone around the observed star in which the Sun is placed. Observed in the direction of white dwarf G!91-B2B column densities ratio $N(\text{Si IV}) / N(\text{Si III}) \ge 10$ finds the best explanation in the model of non-stationary HII zone around this star.

ЛИТЕРАТУРА

- 1. F. C. Bruhwetler, Y. Kondo, Ap. J., 259, 232, 1982.
- 2. F. C. Brutweller, Y. Kondo, Ap. J., 260, L91, 1982.
- 3. F. C. Bruhweiler, Y. Kondo, Ap. J., 248, L23, 1981.
- 4. A. K. Dupree, J. C. Raymond, Ap. J., 275, L71, 1983.
- 5. C. F. McKee, J. P. Ostriker, Ap. J., 218, 148, 1977.
- 6. R. McCray, T. P. Snow, Ann. Rev. Astron. Astrophys., 17, 213, 1979.
- 7. Ал. А. Сучков, Ю. А. Щекинов, Астрон. ж., 60, 883, 1983.
- 8. M. Shull, M. Van Sleenberg, Ap. J., Suppl. ser., 48, 95, 1982.
- J. H. Black, A. K. Dupree, L. W. Hartman, J. C. Raymond, Ap. J., 239, 502, 1980.
- 10. G. Stasinska, Astron. Astrophys. Suppl., 32, 429, 1978.
- 11. T. R. Kallman, R. McCray, Ap. J. Suppl. ser., 50, 263, 1982.
- 12, R. McCray, S. Hatchett, C. Wright. Ap. J., 211, L29, 1977.
- 13. Ал. А. Сучков, Ю. А. Щекинов, Письма АЖ, 19, 35, 1984.
- 14. C. F. McKee, L. L. Cowie, Ap. J., 215, 213, 1977.
- 15. Ал. А. Сучков, Ю. А. Шекинов, Астрофизика, 19, 569, 1983.